

研究背景

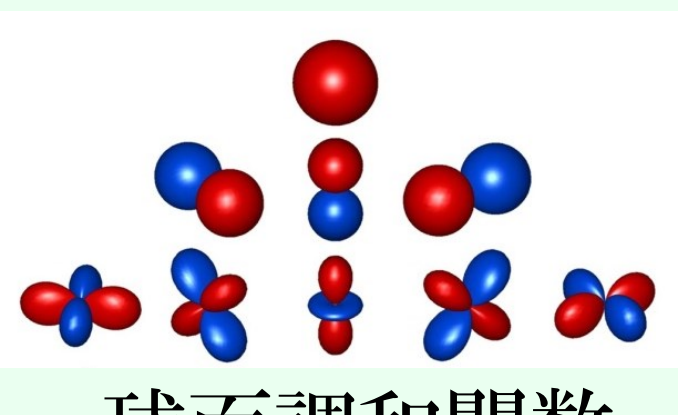
音場再現

円形・直線などのスピーカアレイを用いた再現

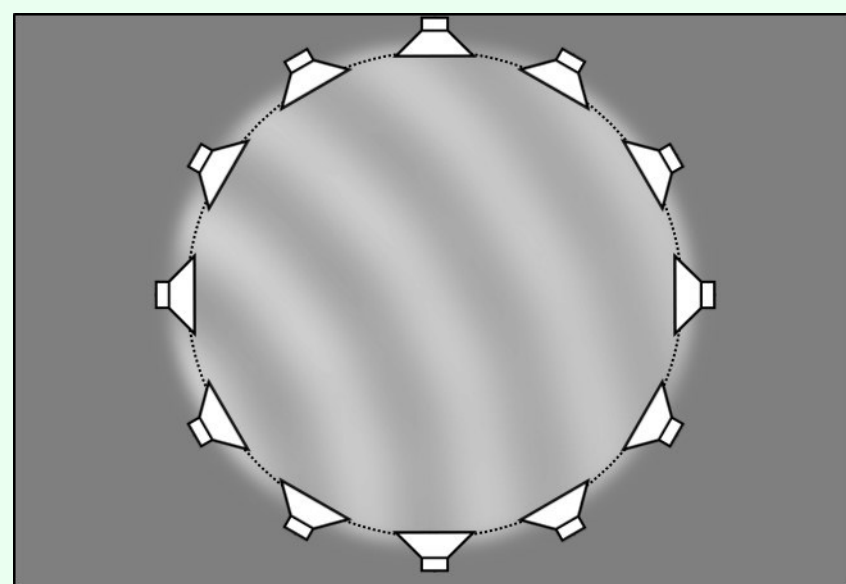


アンビソニックス

円・球面調和展開; 駆動信号は解析的
部屋形状によって円形アレイは配置しづらい
場合あり

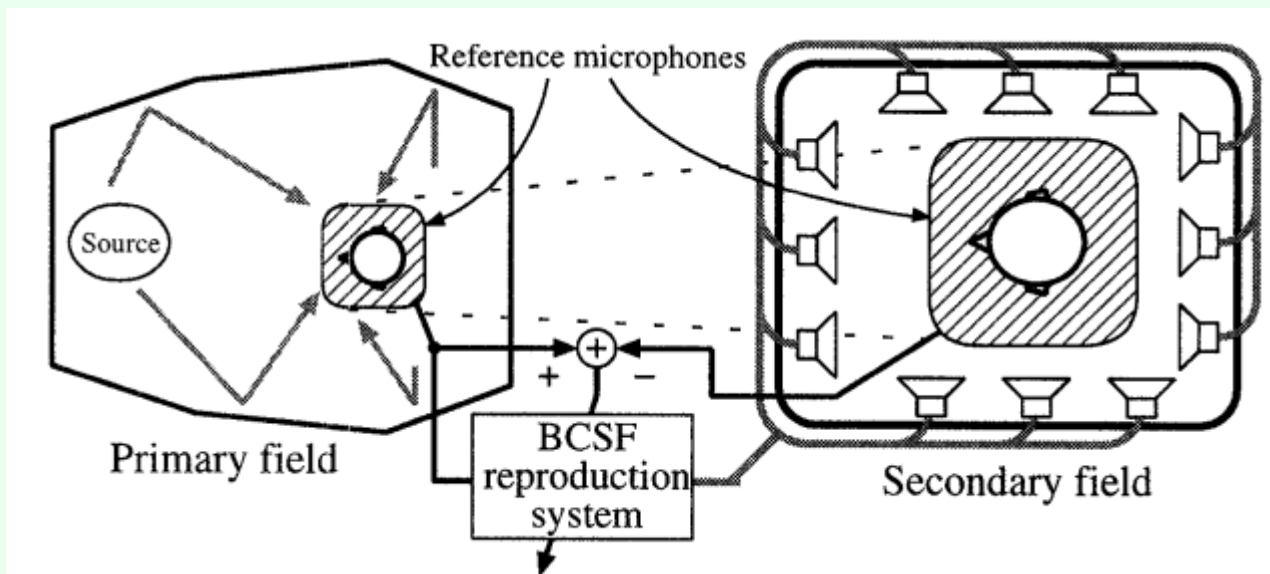


球面調和関数



境界音場制御法(BoSC)

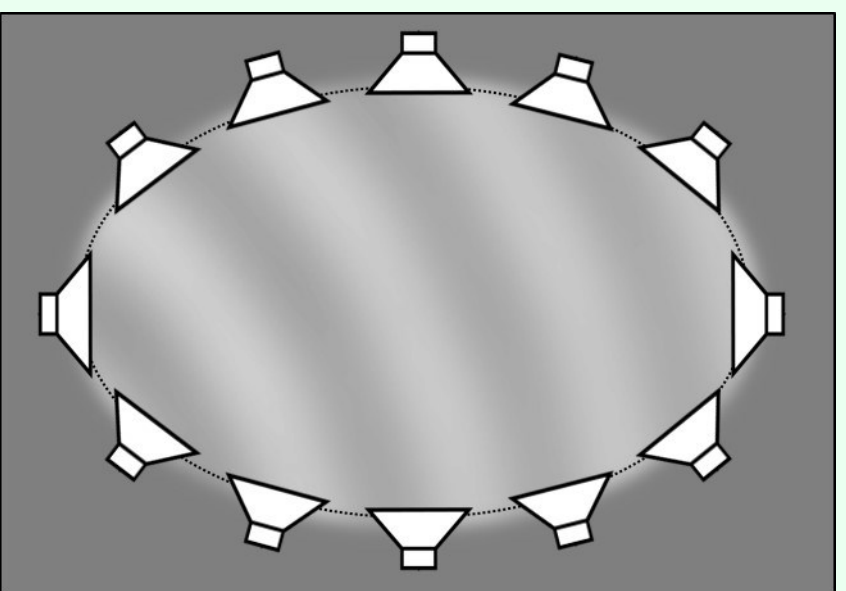
任意形状のアレイ
最小二乗解



[伊勢 1997]

楕円スピーカアレイ

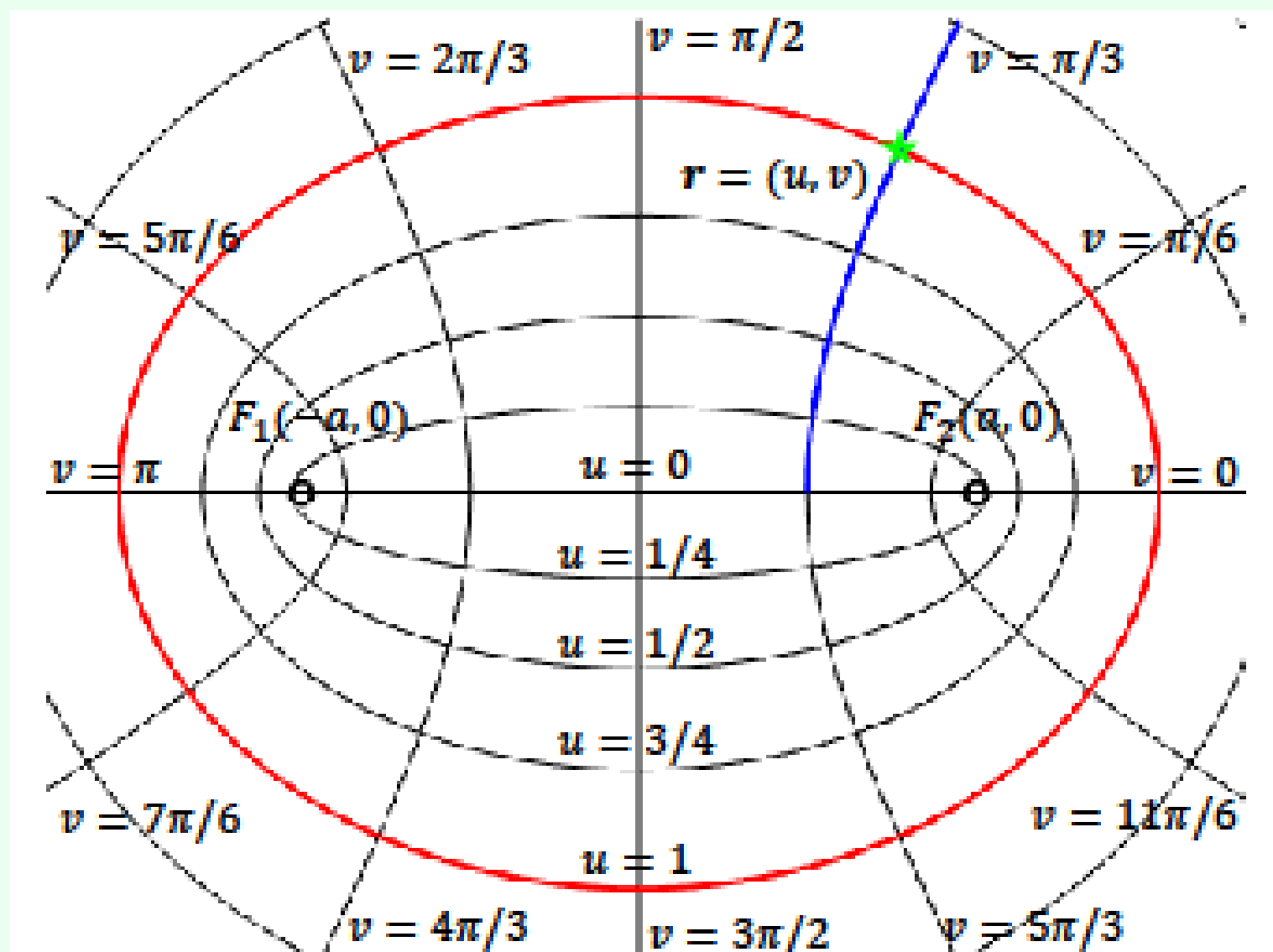
一般的な部屋に対して, 円形アレイより楕円形
アレイのほうが配置しやすい。



Mathieu関数を用いた音場展開で解析的な
駆動信号を求める。

楕円座標系と波動方程式の解

座標系の定義



楕円座標系

$$\begin{cases} x = a \cosh u \cos v \\ y = a \sinh u \sin v \end{cases}$$

$$v \in [0, 2\pi]$$

$$u \in [0, \infty)$$

a : 焦点距離

$F_1(-a, 0), F_2(a, 0)$: 焦点

楕円曲線

$$u = u_0 \text{ (} u_0: \text{const)}$$

ヘルムホルツ方程式

$$\nabla^2 \psi(v, u) + k^2 \psi(v, u) = 0 \quad k: \text{波数}$$

楕円座標系ラプラシアン

$$\nabla^2 = \frac{1}{a^2 (\cosh 2u - \cos 2v)} \left(\frac{\partial^2}{\partial u^2} + \frac{\partial^2}{\partial v^2} \right)$$

変数分離: $\psi(v, u) = N(v) \cdot M(u)$

ここでヘルムホルツ方程式のひとつの解は

$$N(v) = \{S_{\zeta n} \mid \zeta \in \{e, o\}\} \quad : \text{Mathieu angular function}$$

$$M(v) = \{J_{\zeta n}, Y_{\zeta n}, H_{\zeta n}^{(1)}, H_{\zeta n}^{(2)} \mid \zeta \in \{e, o\}\} \quad : \text{Mathieu radial function}$$

である。

提案手法

音場展開

$$P(v, u) = \sum_{\zeta} \sum_n \left[A_{\zeta n}^{\text{inc}} S_{\zeta n}(q, v) J_{\zeta n}(q, u) + A_{\zeta n}^{\text{sca}} S_{\zeta n}(q, v) H_{\zeta n}^{(2)}(q, u) \right]$$

$\zeta \in \{e, o\}$: e(ven)は余弦項, o(dd)は正弦項を示す。

$$n = \begin{cases} 0, 1, 2, \dots & \zeta = e \\ 1, 2, 3, \dots & \zeta = o \end{cases} \quad q = \frac{k^2 a^2}{4}$$

補足: S_{en}, S_{on} それぞれの性質は余弦関数cos, 正弦関数sinに, $J_{\zeta n}, Y_{\zeta n}, H_{\zeta n}^{(1)}, H_{\zeta n}^{(2)}$ それぞれの性質はベッセル関数 J_n , ノイマン関数 Y_n , 第1, 2種ハンケル関数 $H_n^{(1)}, H_n^{(2)}$ に似ている。Mathieu関数に関する計算や性質は[Morse, P. M., & Feshbach, H. (1953). Methods of Theoretical Physics. NY: McGraw-Hill.]の § 11に詳しい。

モードマッチング法

一次音場では, スピーカアレイの内側に音源がないことを仮定し, アレイ内側の音場展開を考えると, 散乱波項がなくなり, 展開は

$$P(v, u) = \sum_{\zeta} \sum_n A_{\zeta n} S_{\zeta n}(q, v) J_{\zeta n}(q, u)$$

となる。

ここでスピーカアレイによる二次音場を考える:

スピーカを $u = u_0$ の楕円曲線上に連続的に配置したときの音場は

$$\hat{P}(v, u) = \int_0^{2\pi} G(v, u \mid v_l, u_0) D(v_l) u_0 dv_l$$

(v_l, u_0) はスピーカ座標, D は駆動信号とし, G は自由音場のグリーン関数:

$$\begin{aligned} G(v, u \mid v', u') &= -\frac{j}{4} H_0^{(2)}(k \|(v, u) - (v', u')\|) \\ &= -j \sum_{\zeta} \sum_n \left\{ \frac{S_{\zeta n}(q, v')}{M_{\zeta n}(q)} S_{\zeta n}(q, v) J_{\zeta n}(q, u_{<}) H_{\zeta n}^{(2)}(q, u_{>}) \right\} \end{aligned}$$

ここで $M_{\zeta n}(q)$ は正規化係数。

駆動信号をMathieu関数で展開し, Mathieu関数の直交性:

$$\int_0^{2\pi} S_{\zeta n}(q, v) S_{\zeta' n'}(q, v) dv = M_{\zeta n}(q) \delta_{\zeta \zeta'} \delta_{nn'}$$

により

$$\begin{aligned} \hat{P}(v, u) &= \sum_{\zeta} \sum_n \beta_{\zeta n} d_{\zeta n} S_{\zeta n}(q, v) J_{\zeta n}(q, u) \\ \beta_{\zeta n} &= -j H_{\zeta n}^{(2)}(q, u_0) \end{aligned}$$

が求められる。

モードごとに二次音場を一次音場と一致させると, 駆動信号の展開係数は

$$d_{\zeta n} = \alpha_{\zeta n} / \beta_{\zeta n}$$

となり, 駆動信号は

$$D(v_l) = \sum_{\zeta} \sum_n d_{\zeta n} S_{\zeta n}(q, v_l)$$

と解析的に導出できる。

注意: 離散配置のスピーカアレイにおいては, 二次音場の展開式が $\sum_l G(v, u \mid v_l, u_0) D(v_l)$ となり, 直交性の式の右側に係数 $L/2\pi$ が付く(L はスピーカ数)。

計算機シミュレーション

シミュレーション条件

楕円座標系: $a = \sqrt{5}/2$

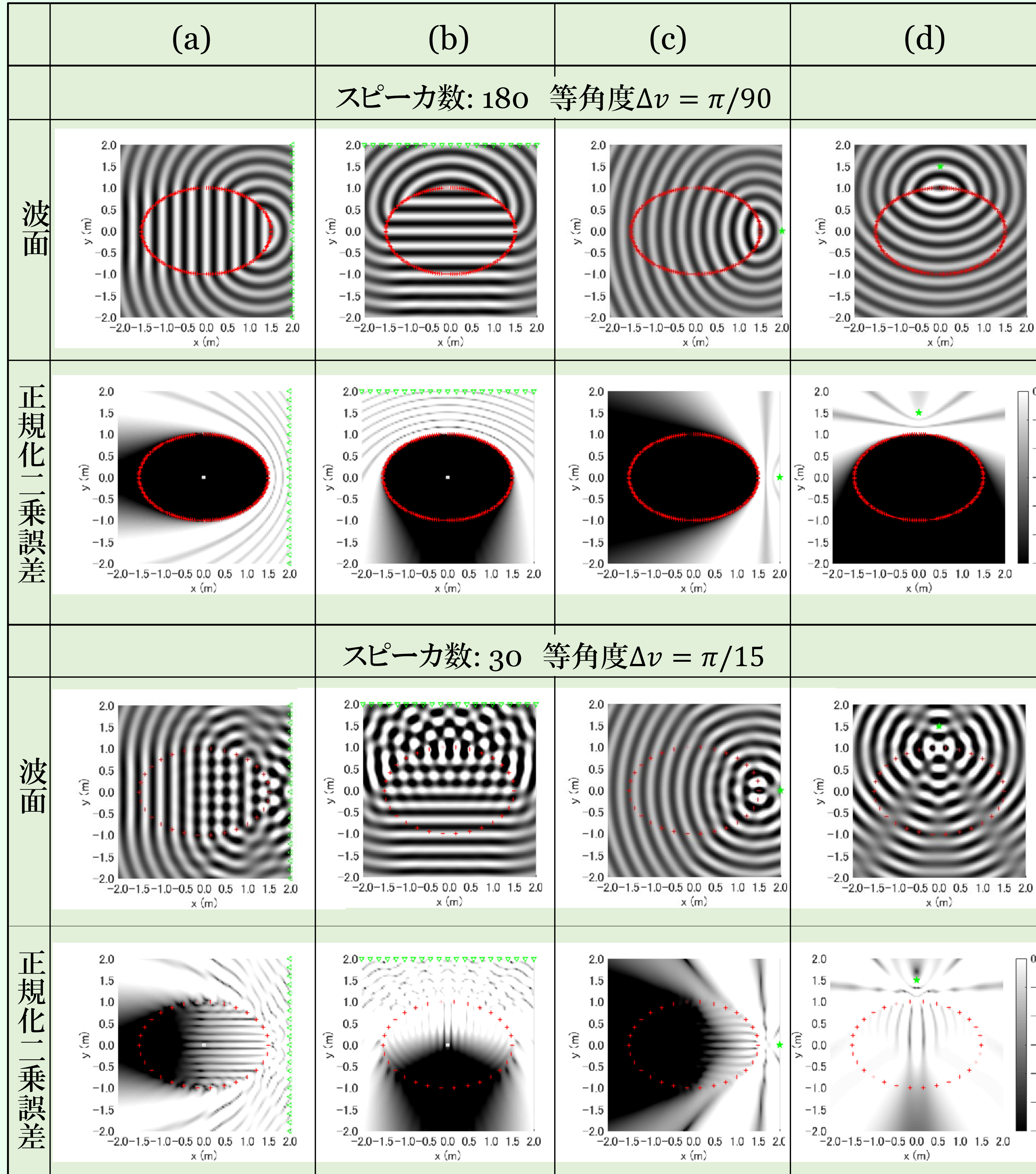
アレイ形状: 楕円; 長軸3 m, 短軸2 m; $u_0 \approx 0.80$

周波数: 1000 Hz 単一周波数; $q \approx 106.72$; 打切り次数: 30

所望一次音場:

(a) 平面波, 到来方向 $\varphi = 0$; (b) 平面波, 到来方向 $\varphi = \pi/2$;

(c) 円筒波, 音源位置 (2, 0); (d) 円筒波, 音源位置 (0, 1.5).



赤十字: スピーカ位置; 緑三角: 平面波の到来方向; 緑星: 円筒波の音源位置;

正規化二乗誤差: $\varepsilon = 10 \log_{10} (|\hat{P} - P|^2 / |P|^2)$ が小さい(黒)ほど性能が良い。

スピーカ数の減少により誤差が生じることがわかった。

音源の到来方向に誤差が生じやすい傾向があった。

まとめ

本研究では, 楕円スピーカアレイ内部の音場を再現する解析的な手法を提案した。

シミュレーションにて平面波および円筒波の再現を確認できた。

今後は楕円外部の音場再現および次数に関する検討を行う。